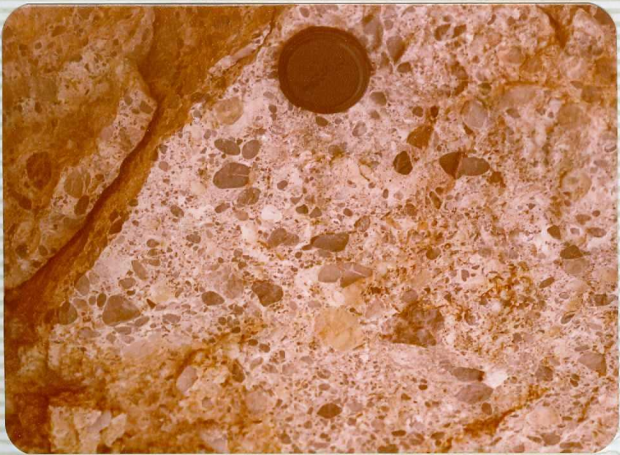


PREPARACION

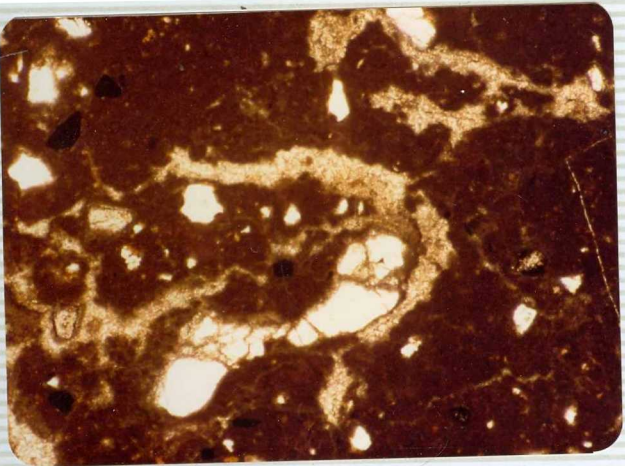
23/44-IB-JG-101.- Grandes litoclastos calcáreos y granos de cuarzo con ce
mento de esparita interpartícula.



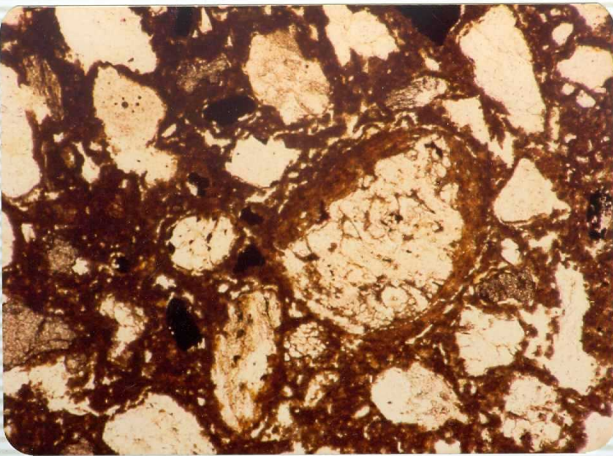
23/44-IB-JG-9201.- Vista panorámica del Tortoniense discordante sobre las dolomías negras triásicas al fondo. La parte inferior de color rojizo -- corresponde al conglomerado basal. En color blanco las calcarenitas bio-clásticas.



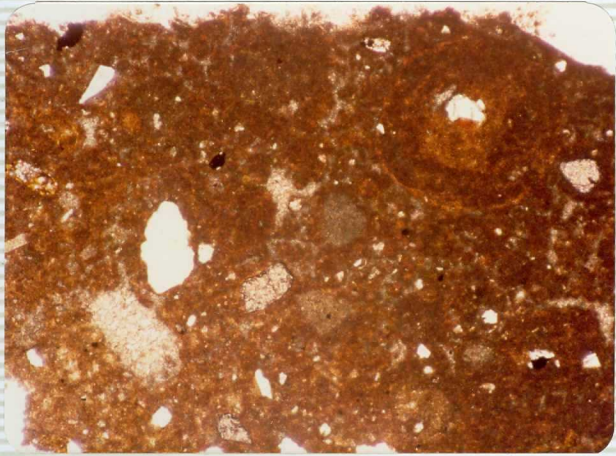
23/44-IB-JG-9202.- Aspecto de detalle de los conglomerados calcáreos baseles.



23/44-IB-PV-9501.- Fractura de desecación rellena de esparita. La matriz micrítica y pelletoidal. Caliche.



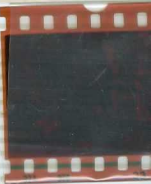
23/44-IB-JG-9502.- Fragmento de roca con envueltas pisolíticas). La matriz micrítica presenta textura alveolar. Caliche.



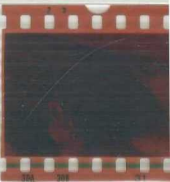
23/44-IB-JG-9507.- Pisolito incipiente, (vadolito) desarrollándose en un caliche.



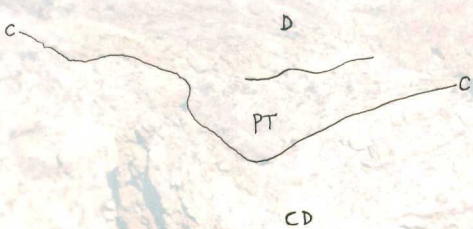
23/44-IB-PV-9530.- Dolomías y calizas del Triásico medio-superior Alpujarride aflorando en el acantilado costero del ángulo NO de la Hoja.



23/44-IB-PV-9531.- Calcoesquistos y calizas dolomíticas del Trías medio-superior Alpujárride. Borde de la carretera a Málaga. Angulo NO de la Hoja.



23/44-IB-PV-9532.- Unidad de filitas (Permotriás), PT) y dolomías (D), cabalgante sobre calizas dolomíticas (CD). Complejo Alpujarride del angulo NO de la Hoja C= Superficie de cabalgamiento.





23/44-IB-PV-9533.- Materiales andesíticos piroxénicos del ángulo SE de la Hoja. Sierra del Cabo de Gata.



23/44-IB-PV-9534.- Pequeña zona de alteración silico-caolinítica en materiales andesíticos piroxénicos. Proximidades del Cabo de Gata.



23/44-IB-PV-9535.- Pitón de dacitas anfibolico biotiticascon dis-
yunción columnar en el Cabo de Gata.



23/44-IB-PV-9601.- Contacto entre el conglomerado marino (12) del Pleistoceno inferior fuertemente encostrado y el glacis (16) de cantes y bloques de cuarzo y dolomia de la misma edad (martillo). Rambla Amoladeras.



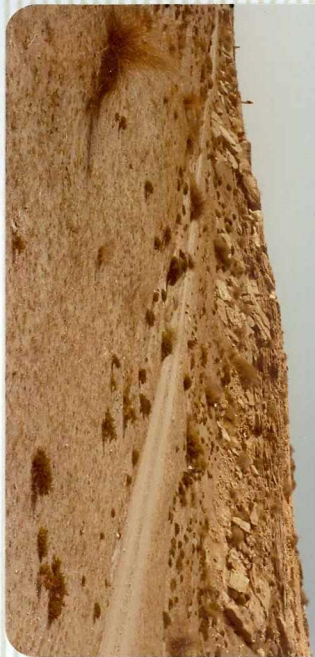
23/44-IB-PV-9602.- Aspecto del glacis de limos rosados (15) que presentan a techo una costra "dalle" poco detritica que en la mayor parte de los casos es policiclica. Observese la karstificación que es fosilizada por parte de la propia costra. Próximo a Casas del Argamasón.



23/44-IB-PV-9603.- Plano de falla, de dirección N 50° de desgarre levogira con cierto juego en la vertical, afectando a los depósitos marinos regresivos (19) del Pleistoceno superior que contienen *S. bubónius*. Rambla Amoladeras.

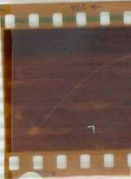


23/44-IB-PV-9604.- Depósitos transgresivos con *S. bubonius* del - Pleistoceno superior (20) rellenando un Paleocanal labrado sobre los conglomerados marinos regresivos (19). A techo limos rosados pertenecientes a un glacis de cobertura (22). Rambla Amoladeras.





23/44-IB-PV-9606.- Falla flexura de dirección N 140°-150°, aquí flexura, afectando a los depósitos con *S. bubónius* (20). Torre García. R. Amoladeras.



23/44-IB-PV-9607.- Deposito marino Tirreniense (21), cuyo máx ximo transgre
sivo alcanza los 7,5 m. Se trata del nivel, que presenta *S. bubónius*, más
moderno de la Hoja. Rambla Amoladeras.



23/44-IB-PV-9608.- Detalle del relleno del nivel con *Strombus* (21) sobre el paleocanal labrado en el anterior depósito Tirreniense -- (20). Rambla Amoladeras.



23/44-IB-PV-9609.- Panorámica de la albufera de El Cabo de Gata y cordón de cierre constituido por los niveles marinos Tirrenienses (19) y (20) y el glacis de arenas rojas y cantos de cuarzo (23). Salinas de Acosta.



23/44-IB-PV-9610 .- Detalle del cordón de cierre de la albufera de El Cabo de Gata. Observése los depósitos conglomeráticos cementados correspondientes al nivel Tirreniense más antiguo (19) y sobre ellos los materiales del glacis de cobertura (23) del Pleistoceno Superior. Próximo a salinas de Acosta.